

文章编号:1673-1689(2005)03-0044-04

# 带自身启动子的 *bgaB* 基因在枯草芽孢杆菌中的表达

傅晓燕, 陈卫, 夏雨, 张灏

(江南大学食品科学与安全教育部重点实验室, 江苏无锡 214036)

**摘要:** 将来源于嗜热脂肪芽孢杆菌的启动子连同  $\beta$ -半乳糖苷酶 *bgaB* 基因经 PCR 扩增后, 连接在 T 载体上, 再取代枯草杆菌载体 pZ01-*bgaB* 的启动子, 将其在枯草杆菌宿主 WB600 中表达。经摇瓶发酵 20 h, 得到乳糖酶活力 6.37 U/mL, 比活力 3.814 U/mg, SDS-PAGE 电泳显示有明显重组蛋白质条带。证明了嗜热脂肪芽孢杆菌来源的启动子在枯草杆菌中是完全适用的。

**关键词:** 嗜热脂肪芽孢杆菌; 启动子; 枯草芽孢杆菌

中图分类号: Q 78

文献标识码: A

## The Expression of *bgaB* Gene with its Promoter in *Bacillus subtilis*

FU Xiao-yan, CHEN Wei, XIA Yu, ZHANG Hao

(The Key Laboratory of Food Science and Safety, Ministry of Education, Southern Yangtze University, Wuxi 214036, China)

**Abstract:** The promoter and gene sequence from *Bacillus stearothermophilus* were amplified through PCR, and cloned into T-vector. Then *bgaB* gene and its regulatory sequence were constructed into *B. subtilis* vector pZ01-*bgaB* to replace the original promoter. After culturing for 20 h, thermostable  $\beta$  galactosidase activity of 6.37 U/mL, and specific activity of 3.814 U/mg were obtained. The target protein was identified at about 70 kD in SDS-PAGE. The result suggested that the *bgaB* promoter from *B. stearothermophilus* was effective in *B. subtilis*.

**Key words:** *Bacillus stearothermophilus*; promoter; *Bacillus subtilis*

$\beta$ -半乳糖苷酶(E. C. 2. 3. 1. 23)俗称乳糖酶, 因能水解  $\beta$ -半乳糖苷键而具有重要的工业用途, 如在乳品生产中水解乳糖, 生产低乳糖牛奶; 在分子生物学中, 由于它有明显的显色反应, 常用做报告或标记基因。目前, 大肠杆菌来源的乳糖酶 *lacZ* 基因研究的最多、最透彻, 但是来源于嗜热微生物的乳糖酶基因研究并不是很多。近年来, 高温乳糖酶基因研究的报道来源有 *Thermus sp.* A4<sup>[1]</sup>, *Bacillus coagulans*<sup>[2]</sup>, *Pyrococcus woesei*<sup>[3]</sup>, 它们的最适温度很高, 达到 70~90 °C。

作者所在实验室在研究嗜热脂肪芽孢杆菌

(*Bacillus stearothermophilus*) 来源的乳糖酶基因 (*bgaB* 编码) 有一定的基础, 在大肠杆菌和枯草杆菌系统中均尝试过表达, 前人研究表明, 该基因在枯草芽孢杆菌系统中表达情况较好。考虑到嗜热脂肪芽孢杆菌和枯草芽孢杆菌同属革兰氏阳性菌, 亲缘关系较近, 有报道谷氨酸棒状杆菌<sup>[4]</sup>来源的启动子在枯草杆菌中也适用。所以作者将 *Bacillus stearothermophilus* 中启动子连同  $\beta$ -半乳糖苷酶 *bgaB* 基因用 PCR 的方法扩增出来, 尝试在枯草杆菌系统中进行表达。

收稿日期: 2004-09-16; 修回日期: 2005-02-14

作者简介: 傅晓燕(1980-), 女, 江苏盐城人, 食品科学与工程硕士研究生。

万方数据

## 1 材料与方法

### 1.1 实验材料

**1.1.1 菌种** 嗜热脂肪芽孢杆菌 *Bacillus stearothermophilis* ATCC8005, 大肠杆菌克隆宿主 TGI (*supE hsdΔ5thiΔ(lac-proAB)F'* [*traD36 proAB<sup>+</sup> lacI<sup>q</sup> lacZΔM15*]), 作者所在实验室保存; 枯草芽孢杆菌表达宿主 WB600 (*his ΔnprB ΔnprE18 ΔaprE ΔeprΔbpfΔmpr*), 中科院生化所袁中一实验室馈赠。

**1.1.2 质粒** 质粒 pZ01-*bgaB*, 作者所在实验室构建并保存; pUm-T 载体购自上海申能博彩生物公司。

**1.1.3 化学试剂** 各种限制性内切酶, T4 连接酶, T4 DNA Polymerase, Ex Taq 聚合酶购自 TaKaRa 公司; MBI DNA Ladder Mix: 购自上海生工生物公司; 其余试剂均为进口或国产分析纯。

**1.1.4 培养基** LB 培养基: 见分子克隆实验指南 III<sup>[5]</sup>; 抗生素含量: 用于培养含有 Amp<sup>r</sup> 质粒的 *E. coli* 时, 质量浓度为 50 μg/mL; 用于培养含有 Km<sup>r</sup> 质粒的 *B. subtilis* 时, 质量浓度为 50 μg/mL; LB 淀粉培养基: 在 LB 培养基上添加 1 g/L 淀粉。

### 1.2 实验方法

**1.2.1 嗜热脂肪芽孢杆菌基因组 DNA 的提取** 见文献<sup>[6]</sup>。

**1.2.2 质粒 DNA 的操作** 质粒 DNA 的提取、酶切、连接、转化、电泳等操作见文献<sup>[5]</sup>, 胶回收操作按照试剂盒说明书。

**1.2.3 枯草芽孢杆菌的转化** 采用化学感受态法, 转化方法见文献<sup>[7]</sup>。

**1.2.4 β-半乳糖苷酶酶活测定** β-半乳糖苷酶的酶活测定方法为吉斯特-布洛卡兹法<sup>[8]</sup>, 以 ONPG 为底物, 在 55 °C 测定酶活。酶活单位定义为 1 min 内水解底物 ONPG 产生 ONP 的微摩尔数。

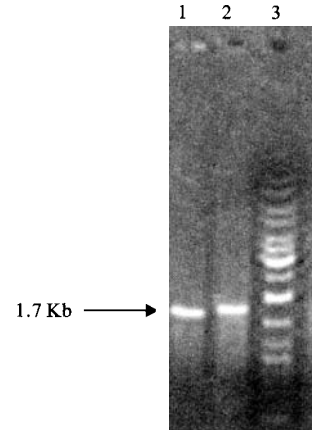
**1.2.5 蛋白质含量测定和 SDS-PAGE 凝胶电泳** 蛋白质含量测定按 Folin-酚法<sup>[9]</sup>, SDS-PAGE 电泳见文献<sup>[5]</sup>, 分离胶质量浓度为 10 g/L。

## 2 实验结果

### 2.1 含启动子的 *bgaB* 基因的 PCR 扩增和 T/A 克隆

根据 Hiruhisa Hirata 报道<sup>[10]</sup> 设计上游引物: 5'-GAATTCTTCACGATGTTTCGACAG-3' (下划线为 *Pst*I 酶切位点); 下游引物: 5'-TATGGTA-

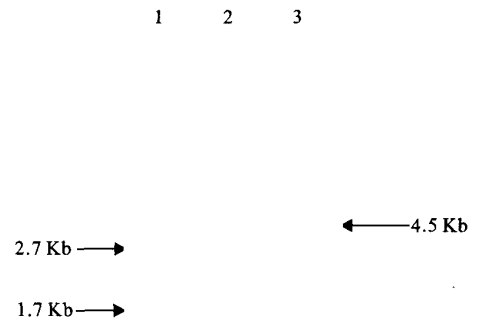
CAAATTCCTCAAC-3'。以提取的 *B. stearothermophilis* 基因组 DNA 为模板, Ex Taq 聚合酶扩增得到 1.7 Kb 的片段, PCR 扩增条件为: 1) 94 °C 预变性 5 min; 2) 94 °C 变性 50 s, 48 °C 退火 50 s, 72 °C 延伸 110 s, 30 个循环; 3) 72 °C 延伸 10 min。电泳图谱见图 1。



1,2. 以基因组为模板的 PCR 扩增产物; 3. MBI Ladder Mix (10000, 8000, 6000, 5000, 4000, 3500, 3000, 2500, 2000, 1500, 1200, 1031, 900)

图 1 从启动子到 *bgaB* 基因序列的 PCR 扩增  
Fig. 1 PCR amplification of promoter and *bgaB*

胶回收 PCR 产物和 pUm-T 载体, 16 °C 连接过夜, 转化大肠杆菌感受态细胞 TGI, 通过蓝白斑筛选, 挑转化子抽提质粒, 酶切鉴定, 见图 2。



1. MBI Ladder Mix; 2. 重组质粒 pUT-E *Pst*I 单酶切; 3. 重组质粒 pUT-E *Eco*RI 单酶切

图 2 重组质粒 pUT-E 酶切鉴定图谱

Fig. 2 Identification of recombinant plasmid pUT-E

将质粒 pUT-E 送公司测序, T7 启动子测序引物一个反应便可得知 *Bacillus stearothermophilis* 启动子序列, 测序结果和 Hiruhisa Hirata 报道完全一致, 没有碱基突变。

2.2 质粒 pF01-*bgaB* 的构建和枯草杆菌宿主的转化

*EcoRI* 和 *EcoRV* 双酶切载体 pZ01-*bgaB*, 得到 3 个片段, 取含有枯草杆菌序列和抗性基因 4.2 Kb 的片段. *EcoRI* 和 *EcoRV* 双酶切 pUT-E 质粒, 胶回收 1.7 Kb 的片段, 将 2 个片段连接, 转化枯草杆菌宿主 WB600. 所得菌株命名为 WB600/pF01-*bgaB*. 整个构建流程见图 3.

同时 *EcoRI* 和 *KpnI* 酶切 pZ01-*bgaB*, 也得到 3 个片段, 取 5.7 Kb 片段, 该片段含有完整的枯草杆菌序列和 *bgaB* 基因, 但是无启动子序列. 用 T4 DNA 聚合酶补平, 连接, 转化枯草杆菌 WB600. 所得菌株命名为 WB600/pC-*bgaB*, 该菌株作为 WB600/pF01-*bgaB* 的对照, 它含有 *bgaB* 基因, 但不含启动序列.

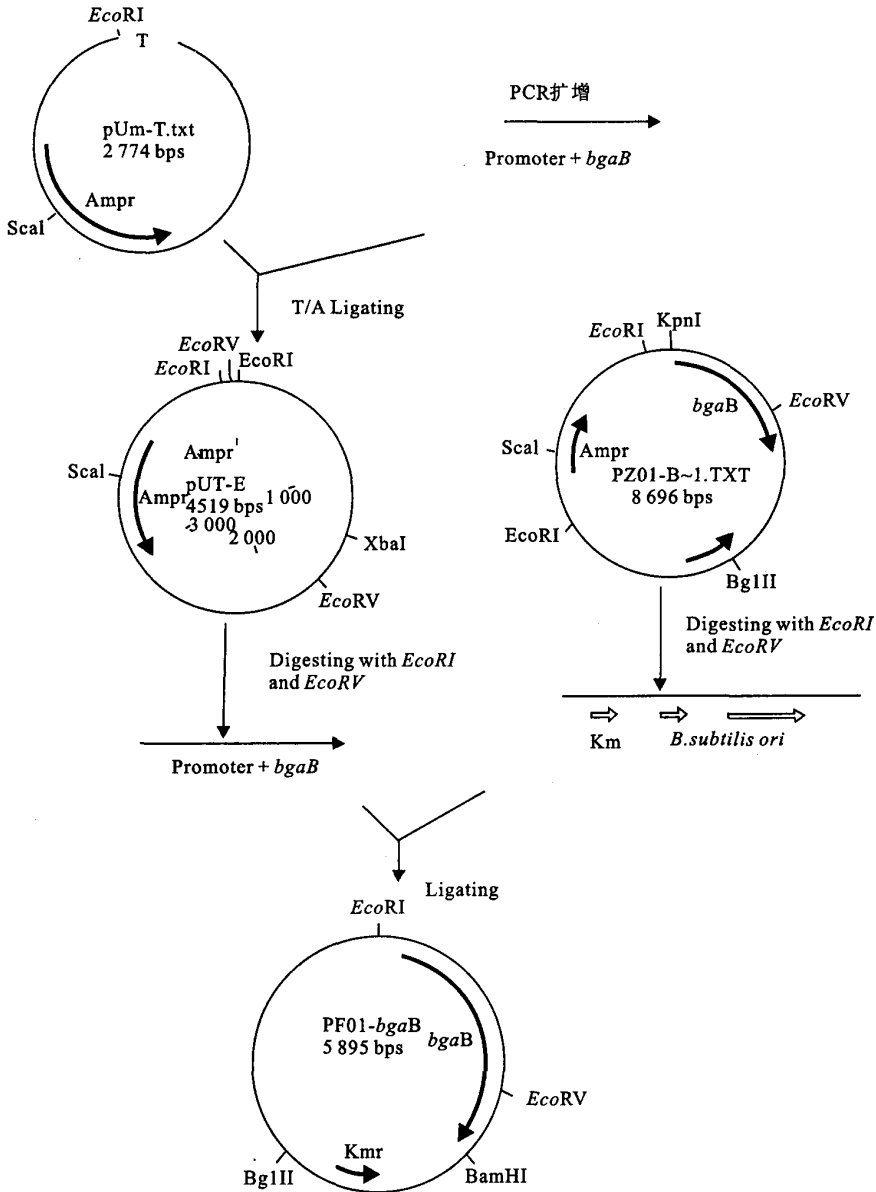


图 3 重组质粒 pF01-*bgaB* 的构建流程

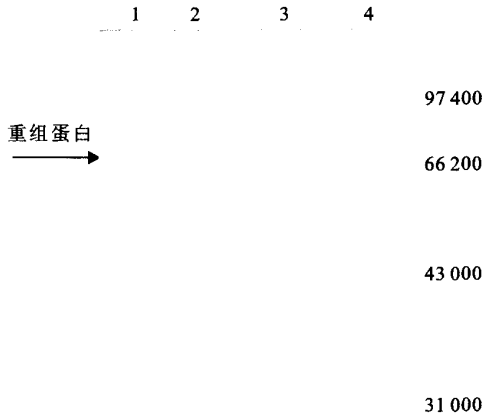
Fig. 3 Construction process of the recombinant plasmid pF01-*bgaB*

2.3 重组菌株的酶活测定和蛋白质电泳

重组菌株 WB600/pF01-*bgaB* 中的启动子来源于嗜热脂肪芽孢杆菌, 不需要诱导, 为组成型启动

子. 挑单菌落于 3 mL LB 中培养过夜, 以 1% 的接种量接种于 50 mL 的 LB 淀粉培养基, 37 °C, 200 r/min 培养 20 h. 离心菌体后超声波破胞, 粗酶活为

6.37 U/mL, 蛋白质质量浓度为 1.67 mg/mL, 比酶活为 3.814 U/mg. 而空菌株 WB600 检测不到酶活. 同时取粗酶液进行 SDS-PAGE 电泳, 从图 4 中可以看出重组菌株 WB600/pF01-*bgaB* 在相对分子质量 70 000 处有蛋白质条带, 这和以前在枯草杆菌中表达该蛋白质的大小是一致的, 而空菌株没有蛋白质表达.



1. WB600/pMA5-*bgaB* (本实验室构建) 初步纯化酶液; 2. 重组菌株 WB600/pF01-*bgaB* 粗酶液; 3. WB600/pC-*bgaB* 粗酶液; 4. 标准相对分子质量蛋白质

图 4 重组菌株 WB600/pF01-*bgaB* 的 SDS-PAGE 蛋白质电泳

Fig. 4 SDS-PAGE analysis of WB600/pF01-*bgaB*

### 3 讨论

作者用 PCR 的方法从 *B. stearothermophilis* 的基因组中扩增出表达调控序列-启动子, 并把它构建到枯草芽孢杆菌载体中, 得到的重组菌株具有较高的乳糖酶活力, SDS-PAGE 电泳证明了该菌株有蛋白质的表达, 说明 *B. stearothermophilis* 来源的启动子在枯草芽孢杆菌中是完全适用的. 据 Hiru-

hisa Hirata<sup>[10]</sup> 报道, 该启动子的-35 区为 TTGA-CA, -10 区为 TAATTT, 其中-35 区的序列和枯草杆菌 RNA 聚合酶  $\sigma^{43}$  因子结合序列是完全一致的, -10 区序列和枯草杆菌  $\sigma^{43}$  因子结合序列“TATA-AT”比较接近, 而两者距离 17 bp, 也是很多枯草杆菌 RNA 聚合酶所倾向的. 启动子-35 区以上的序列富含 A 和 T 碱基, 这对于转录是很有帮助的, 所有这些都可以从理论上解释该启动子在枯草杆菌系统中适用.

*B. stearothermophilis* 和 *B. subtilis* 的启动子有类似之处, 这在何笑松<sup>[11]</sup> 的研究中有所反应. 他利用启动子探测载体 pPL703 分离出 *B. stearothermophilis* CUZ1 基因组中启动子片段, 然后将其转化到 *B. subtilis* 宿主中, 发现启动子序列插入到质粒中, 使得原生质体转化效率提高了 10 倍. 关于枯草芽孢杆菌的很多研究证明, 质粒转化 *B. subtilis* 感受态时, 一般效率是很低的, 但如果质粒上带有与受体染色体或受体细胞内原有质粒同源的片段, 则能提高转化效率. 这说明 *B. stearothermophilis* 启动子和 *B. subtilis* 的染色体有一定的同源性. 同时 Takagi<sup>[12]</sup> 和 Sukagashi<sup>[13]</sup> 在对 *B. stearothermophilis* 中性蛋白酶和淀粉酶基因的结构研究时, 也曾注意到这种相似性. 但高温细菌启动子的核苷酸序列研究资料还不是很多, 需要进一步积累资料, 才能将它们和常温菌的启动子做系统的比较.

与实验室以前构建的重组枯草杆菌 WB600/p201-*bgaB* 相比, 同样摇瓶培养 20 h, 酶活为 11.128 U/mL, 比酶活为 5.39 U/mg, WB600/pF01-*bgaB* 在表达量上稍稍逊色, 这和我们的初衷有些违背. 推测原因在于 *bgaB* 启动子毕竟为一个异源的启动子, 而质粒 p201 启动子 p43 本身就来源于枯草杆菌, 且为重叠启动子 (生长期和静止期分别起作用). 当然两个载体上序列的一些差异, 如有效的转录终止序列, 也有可能对表达产生影响.

### 参考文献:

- [1] Ohtus N, Motoshima H, Goto K, *et al.* Thermostable  $\beta$ -galactosidase from an extreme thermophile, *Thermus sp.* A4: enzyme purification and characterization and gene cloning and sequencing[J]. *Biosci Biotechnol Biochem*, 1998, 62(8):1539-1549.
- [2] Batra N, Singh J, Banwrjee U C, *et al.* Production and characterization of a thermostable beta-galactosidase from *Bacillus coagulans* RCS3[J]. *Biotechnol Appl Biochem*, 2002, 36(1):1-6.
- [3] Daabrowski S, Sobieska G, Matsuzawa J. Cloning, expression and purification of the His(6)-tagged thermostable  $\beta$ -galactosidase from *Pyrococcus woesei* in *E. coli* and some properties of the isolated enzyme [J]. *Protein Expr Purif*, 2000, 19(1): 107-112.

(下转第 51 页)

表 5 E-3519 及参考株的抗菌谱

Tab. 5 Antigram of E-3519 and reference strains

抗菌谱	E-3519	ATCC 14539	ATCC 43537	ATCC 14538
枯草杆菌(501)	—	—	±	+
大肠杆菌(103)	—	—	—	±
金色葡萄球菌(209)	—	—	±	+
白色假丝酵母(477)	—	—	—	—
黑曲霉	—	—	—	—
产黄青霉	—	—	—	—
分枝杆菌(617)	—	—	—	—

2) 目前国外关于放线菌的分类是采用遗传学

手段,用指纹图谱来鉴别菌种的归属,而我国对放线菌的分类仍采用经典的形态学方法.作者对阿卡波糖生产菌 E-3519 的鉴别主要采用形态学方法.根据 E-3519 菌主要生化特征及形态学特征初步认为与 ATCC14539 相似,故命名为 *Actinoplanes utahensis* var. (犹他游动放线菌变种).

3) 阿卡波糖是治疗 II 型糖尿病的首选药物之一,由德国拜耳开发成功,于 20 世纪 90 年代先后在欧洲多国、美国、中国等几十个国家销售.菌株 E-3519 的获得及进一步的研究开发成功,有利于阿卡波糖生产实现国产化.

## 参考文献:

- [1] 蒋伯诚. 轻症糖尿病与胰岛素增敏剂和  $\alpha$ -糖苷酶抑制剂[J]. 国外医药, 1998, 19(2): 100—104.
- [2] Clissod S P, Clive Edwards. A preliminary review of its pharmacodynamic and pharmacokinetic properties and therapeutic potential[J]. *Drugs*, 1998, 35: 214—243.
- [3] 诸葛健, 王正祥. 工业微生物实验技术手册[M]. 北京: 中国轻工业出版社, 1994. 352—364.
- [4] Werner Frommer, Wuppertal, Horst Gericke, et al. Amino sugars and their use in improving the meat: fat ratio in animals[P]. 美国专利: USP 4065557. 1977-12-27.

(责任编辑: 李春丽)

(上接第 47 页)

- [4] Micoslav P, Gunther M, Wolfgang W. Function of *Corynebacterium glutamicum* promoters in *E. coli* *Streptomyces lividans* and *Bacillus subtilis*[J]. *Journal of Biotech*, 2003, 104: 325—334.
- [5] J 萨姆布鲁克, D 拉塞尔. 分子克隆实验指南(第三版)[M]. 黄培堂译, 北京: 科学出版社, 2002.
- [6] Colinrh. Simon M C. Molecular Biological Method for Bacillus [M]. England: John Wiley & Sons Ltd, 1990.
- [7] Yasbin R E, Wilson G A, Young F E. Transformation and transfection in lysogenic strains of *Bacillus subtilis*: evidence for selective induction of prophage in competent cells[J]. *J Bacteriol*, 1975, 121: 296—304.
- [8] 施特尔马赫 B. 酶的测定方法[M], 钱嘉译. 北京: 中国轻工业出版社, 1990.
- [9] 厉朝龙. 生物化学与分子生物学实验技术[M], 杭州: 浙江大学出版社, 2000.
- [10] Hiruhisa Hirata, Tsuyoshi F, Shiji Negoro. Structure of a  $\beta$  galactosidase gene of *Bacillus stearothermophilus*[J]. *Journal of Bacteriology*. 1986, 166: 722—727.
- [11] 何笑松, 沈仁权, 盛祖嘉. 嗜热脂肪芽孢杆菌启动子克隆载体 pFDC4 和表达载体 pFDC11 的构建. 遗传学报[J]. 1990, 17(4): 313—320.
- [12] Masahiro Takagi, Tadayuki Imanaka, Shuichi Aiba. Nucleotide sequence and promoter region for the neutral protease gene from *Bacillus stearothermophilus*[J]. *J Bacteriol*, 1985, 163(3): 824—831.
- [13] Norihiro T, Sumiko IR, Takuji S, et al. Efficient synthesis and secretion of a thermophilic  $\alpha$ -amylase by protein-producing *Bacillus brevis* 47 Carrying the *B. stearothermophilus* amylase gene[J]. *J Bacteriol*, 1985, 164(3): 1182—1187.

(责任编辑: 杨 萌, 李春丽)